

Méthode multipole rapide pour un nuage de points

Gaétan Facchinetti

5 décembre 2016

*Université Paris-Saclay, Ecole Normale Supérieure de Cachan,
Ecole Nationale Supérieure des Techniques Avancées*

Question 1

Nous avons créé une fonction permettant de renvoyer, pour une densité de point par longueur d'onde n_λ et une fréquence f donnée, un tableau de coordonnées de l'ensemble des points du nuage ainsi que le nombre N de points. Ce nombre de points se calcule aussi directement en fonction des paramètres par la formule,

$$N = 4s_a(s_b - 1) + 2(s_b - 2)^2 \quad (1)$$

Avec $s_a = \mathbb{E}(fn_\lambda L/c) + 1$ et $s_b = \mathbb{E}(fn_\lambda l/c) + 1$, où $L = 1$ (m) et $l = 0.5$ (m) sont les dimensions de la boîte et c la célérité de l'onde dans le milieu considéré. Nous avons alors représenté en Fig. 1 les points de discrétisation.

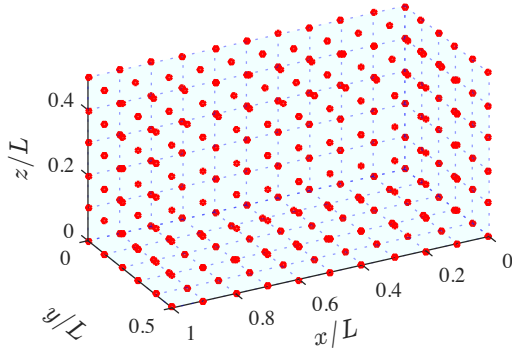


FIGURE 1 – Points de discrétisation suivant les trois coordonnées spatiales (rouge). $N = 252$, $n_\lambda = 10$, $f = c/L$. Pour faciliter la lecture les plans $x = 0$, $y = 0$ et $z = 0$ ont été représentés en cyan.

Question 2

Notons, pour $i \in \llbracket 1, N \rrbracket$, \mathbf{x}_i le vecteur position du point du nuage indicé i . Introduisons alors la matrice de la fonction de Green G que nous définissons par \mathbb{G} avec pour tout $(i, j) \in \llbracket 1, N \rrbracket^2$:

$$\mathbb{G}_{i,j} = \begin{cases} G(\mathbf{x}_i, \mathbf{x}_j) = \frac{e^{ik|\mathbf{x}_i - \mathbf{x}_j|}}{|\mathbf{x}_i - \mathbf{x}_j|} & \text{si } i \neq j \\ 0 & \text{si } i = j \end{cases} \quad (2)$$

Nous notons τ_a le temps d'assemblage de cette matrice. Soit maintenant un vecteur $\boldsymbol{\rho}$ quelconque de \mathbb{R}^N . Nous notons τ_c le temps de calcul du produit matrice vecteur $\mathbf{V} = \mathbb{G}\boldsymbol{\rho}$.

Nous pouvons remarquer qu'à partir de $N \sim 10000$ l'assemblage de la matrice est trop gourmand en mémoire et cela rend l'exécution sous Matlab impossible. Nous avons donc fait varier f à n_λ fixé pour avoir, d'après Eq. (1), une valeur de N maximale de 9002. Puis nous avons représenté en Fig. 2 et Fig. 3 l'évolution de τ_a et τ_c en fonction de N .

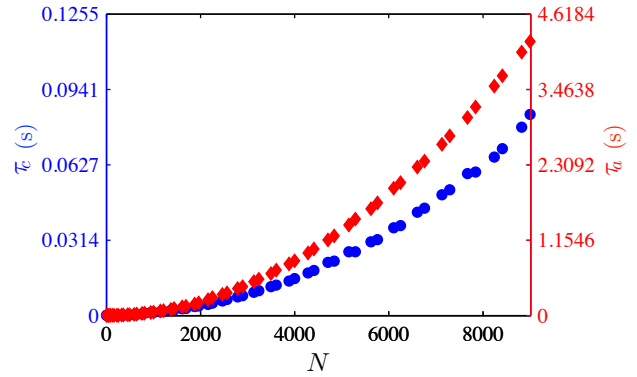


FIGURE 2 – Temps d'assemblage de \mathbb{G} , τ_a (losanges rouge) et temps de calcul du produit matrice vecteur τ_c (ronds bleu) en fonction de N . Les deux courbes ont une allure parabolique mais nous pouvons remarquer que, les échelles étant différentes, le temps d'assemblage est plus long

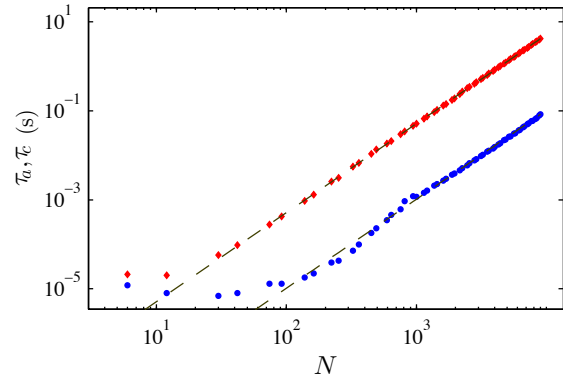


FIGURE 3 – Temps d'assemblage de \mathbb{G} , τ_a (losanges rouge) et temps de calcul du produit matrice vecteur τ_c (ronds bleu) en fonction de N . Asymptotiquement $\log(\tau_{a/c}) \simeq 2 \log(N) + K_{a/c}$ représentées en pointillé vert avec $K_{a/c}$ constante.

Comme montré en Fig. 3, l'évolution du logarithme de τ_a avec N tend asymptotiquement vers une droite de pente 2. Il en est de même pour le logarithme de τ_c avec N . Nous avons pu vérifier cette évolution quadratique à l'aide d'une régression linéaire, ceci confirme l'évolution en $O(N^2)$ du temps d'assemblage et de produit matrice vecteur.

Question 3

Nous avons calculé la quadrature de Gauss-Legendre à L_q points en diagonalisant la matrice tridiagonale définie dans l'énoncé. La méthode utilisée pour obtenir les points de quadrature est la méthode de Golub-Welsh¹. Avec les notations du TP et L_q le nombre de points de quadrature (à ne pas confondre avec L la longueur du pavé) nous calculons, pour P polynôme tel que $\deg P \leq 2L_q - 1$,

$$\int_{-1}^1 P(t) dt = \sum_{i=1}^{L_q} \omega_i P(\lambda_i) \quad (3)$$

Ceci est équivalent, par un changement de variable, à

$$\int_0^\pi P(\cos(t)) \sin(t) dt = \sum_{i=1}^{L_q} \omega_i P(\cos(\theta_i)) \quad (4)$$

Nous avons testé cette quadrature avec $L_q = 3$ en comparaison de celle à 3 points développée lors du premier TP. Nous écrivons I_{GL} le résultat par la quadrature de Gauss Legendre, I_1 le résultat pour la quadrature à trois points du premier TP, I_M le résultat de la quadrature effectuée par Matlab et I_v la valeur vraie pour l'intégration de la fonction polynomiale P .

P	I_{GL}	I_1	I_M	I_v
$x \mapsto x$	0.00	0.00	0.00	0
$x \mapsto x^2$	0.667	0.667	0.667	2/3
$x \mapsto x^4$	0.400	0.667	0.400	2/5

TABLE 1 – Résultat des quadratures numériques

Comme attendu nous observons que pour la quadrature de Gauss-Legendre donne les même résultats pour des polynômes de degré inférieur ou égal à 3 que la quadrature du premier TP. En revanche, comme nous pouvions nous y attendre cette nouvelle quadrature nous permet d'avoir une solution correcte pour des polynômes de degré 4 et 5, puisque la formule est bien exacte jusqu'au degré $2L_q - 1$, ce que nous n'avions pas au premier TP.

Question 4

Notons, pour $l \in \mathbb{N}$ et $m \in \llbracket -l, l \rrbracket$:

$$C_{l,m} = \sqrt{\frac{2l+1}{4\pi} \frac{(l-m)!}{(l+m)!}} \quad (5)$$

Nous avons, par définition,

$$Y_{lm}(\theta, \phi) = C_{l,m} P_l^m(\cos(\theta)) e^{im\phi} \quad (6)$$

En notant $I_{Y_{lm}}$ l'intégrale de Y_{lm} sur la sphère unité (nous noterons $I_{GL, Y_{lm}}$ le résultat numérique de la quadrature),

$$I_{Y_{lm}} = C_{l,m} \int_0^\pi P_l^m(\cos(\theta)) \sin(\theta) d\theta \int_0^{2\pi} e^{im\phi} d\phi \quad (7)$$

Ainsi si $m \neq 0$ l'intégrale sur ϕ donne directement $I = 0$. De plus, d'après d'autres propriétés des polynômes de Legendre, la quadrature totale doit alors satisfaire les égalités suivantes :

$$\sum_{i,j} \omega_i \omega_j Y_{lm}(\theta_j, \phi_i) = \begin{cases} 0 & \text{si } m \neq 0 \text{ ou } l \neq 0 \\ \sqrt{4\pi} & \text{si } m = 0 \text{ et } l = 0 \end{cases} \quad (8)$$

En particulier, la quadrature sur ϕ doit vérifier :

$$\sum_i \omega_i e^{im\phi_i} = \begin{cases} 0 & \text{si } m \neq 0 \\ 2\pi & \text{si } m = 0 \end{cases} \quad (9)$$

Nous avons réalisé une quadrature à $L_q + 1$ points en θ et $2L_q + 1$ points en ϕ . Nous notons une intégration exacte, à erreur d'arrondi machine de l'ordre de 10^{-16} , pour toute les harmoniques sphériques avec $l \leq 2L_q$. Cependant pour $l = 2L_q + 1$ nous pouvons commencer à remarquer des écarts (dus à la quadrature sur ϕ) puisque le code nous donne une valeur numérique $I_{GL-Y_{lm}} = 2.576$ alors que $I_{Y_{lm}} = 0$ pour $Y_{l=9, m=9}$ en utilisant $L_q = 4$. Pour l encore supérieur la quadrature sur θ donne aussi des valeurs erronées et les résultats ne sont plus satisfaisants du tout.

Nous aurions pu utiliser toute autre quadrature de Gauss, de Simpson, etc. L'avantage de cette quadrature ci et d'intégrer exactement les harmoniques sphériques (et de donner donc de très bon résultats pour nos expressions qui peuvent se décomposer avec une très bonne approximation sur une base constituée d'un nombre limité d'entre elles). Le deuxième avantage qui apparaît est qu'il faut un nombre de points $(L_q + 1)(2L_q + 1)$ pour pouvoir intégrer exactement des harmoniques sphériques jusqu'à l'ordre $l = 2L_q$ et ainsi calculer sur un nombre de points restreint.

Question 5

1. Mise en pratique

Nous souhaitons calculer la décomposition en onde plane de la fonction de green G . Posons $\mathbf{x} - \mathbf{y} = (\mathbf{y}_0 - \mathbf{y}) + (\mathbf{x}_0 - \mathbf{y}_0) - (\mathbf{x}_0 - \mathbf{x}) = \mathbf{r} + \mathbf{r}_0$. Nous utilisons

$$G(\mathbf{x}, \mathbf{y}) = \frac{\exp(ik|\mathbf{x} - \mathbf{y}|)}{|\mathbf{x} - \mathbf{y}|} \simeq \int_{S^2} e^{ik\hat{\mathbf{s}}\mathbf{r}} \mathcal{G}_L d\hat{\mathbf{s}} \quad (10)$$

$$\mathcal{G}_L = \frac{ik}{4\pi} \sum_{p=0}^{L_G} (2p+1) i^p h_p^{(1)}(k|\mathbf{r}_0|) P_p(\cos(\hat{\mathbf{s}}, \mathbf{r}_0)) \quad (11)$$

$$\cos(\hat{\mathbf{s}}, \mathbf{r}_0) = \frac{1}{|\mathbf{r}_0|} \left\langle \begin{pmatrix} \sin(\theta) \cos(\phi) \\ \sin(\theta) \sin(\phi) \\ \cos(\theta) \end{pmatrix}, \mathbf{r}_0 \right\rangle \quad (12)$$

1. *Calculation of Gauss Quadrature Rules*, G.H. Golub and J.H. Welsh, *Math. Comp.* **23** (1969), 221-230, (Apr., 1969)

L'intégrale sur la sphère unité est calculée par la quadrature déterminée dans la question précédente. En effet, la largeur de bande de l'équation à intégrer étant de $2L_G$ comme nous intégrons très bien avec une quadrature de L_q en θ et $2L_q + 1$ et ϕ les harmoniques sphériques Y_{lm} avec $l \leq 2L_q$ nous prenons une quadrature de $L_G + 1$ points en θ et $2L_G + 1$ points en ϕ (ce qui revient à prendre $L_q = L_G$).

De plus, il faut être prudent et utiliser ici les fonctions de Hankel sphériques et non celles définies sous Matlab avec la dénomination *besselh*. Ces fonctions sont définies par, pour $(z, p) \in \mathbb{R}_+^* \times \mathbb{N}$,

$$h_p^{(1)}(z) = e^{iz} \sum_{k=0}^p \frac{(p+k)!}{2^k(p-k)!} \frac{1}{z^{k+1}} \quad (13)$$

Pour être plus rapide dans le code ces fonctions sont en réalité calculées à l'aide de la formule de récurrence suivante. Ceci est pratique puisque nous avons besoin de toutes les fonctions de Hankel jusqu'à l'ordre L_G .

$$h_{p+1}^{(1)}(z) = \frac{2p+1}{z} h_p^{(1)}(z) - h_{p-1}^{(1)}(z) \quad (14)$$

De même, par souci de rapidité, nous n'utilisons pas non plus la fonction *legendreP* intégrée à Matlab pour récupérer la valeur des polynômes de Legendre. Nous procédons aussi avec une formule de récurrence, ceci nous ayant permis d'en récupérer les valeurs approximativement 10 fois plus vite qu'en utilisant *legendreP*. Pour $(x, p) \in \mathbb{R} \times \mathbb{N}$,

$$P_{p+1}(x) = \frac{2p+1}{p+1} x P_p(x) - \frac{p}{p+1} P_{p-1}(x) \quad (15)$$

Enfin nous noterons aussi que pour réaliser des calculs rapides en vectorisant au maximum les opérations effectuées nous avons beaucoup utilisé la fonction *bsxfun(@times, ..., ...)* du logiciel.

2. Un exemple de cas test

Pour tester nos codes nous avons utilisé le cas test $\mathbf{r} = 0$ et $\mathbf{r}_0 = \mathbf{x} - \mathbf{y}$. En effet dans ce cas,

$$G(\mathbf{x}, \mathbf{y}) = \frac{ik}{4\pi} \sum_{p=0}^{L_G} (2p+1) i^p h_p^{(1)}(k|\mathbf{r}_0|) \times \int_{S^2} P_p(\cos(\hat{\mathbf{s}}, \mathbf{r}_0)) d\hat{\mathbf{s}} \quad (16)$$

Cependant pour $p \in \llbracket 0, L \rrbracket$ comme notre quadrature intègre exactement les polynômes en $\cos \theta$ (c.f. Q.3) de degrés inférieur ou égal à $2L_G + 1$, d'après l'orthogonalité des polynômes de Legendre, il vient,

$$G(\mathbf{x}, \mathbf{y}) = ik h_0^{(1)}(k|\mathbf{r}_0|) \quad (17)$$

Nous avons un résultat analytique très pratique pour vérifier le code. Ceci nous permet en outre de confirmer le choix des fonctions de Hankel et vérifier la quadrature sur les polynômes de Legendre.

3. Résultats

Pour nous assurer du bon fonctionnement de notre code nous avons calculé différentes valeurs de la fonction de green en différents points en faisant varier les différents paramètres du problème en Tab. 2. Nous notons $G_{\sim}(\mathbf{x}, \mathbf{y})$ l'approximation de la fonction de Green calculée aux points \mathbf{x} et \mathbf{y} . Nous introduisons aussi

$$\varepsilon = \frac{|G(\mathbf{x}, \mathbf{y}) - G_{\sim}(\mathbf{x}, \mathbf{y})|}{|G(\mathbf{x}, \mathbf{y})|} \quad (18)$$

$$\text{i.e. } \varepsilon = \|\mathbf{x} - \mathbf{y}\|_2 |G(\mathbf{x}, \mathbf{y}) - G_{\sim}(\mathbf{x}, \mathbf{y})| \quad (19)$$

Il s'agit d'une grandeur représentant l'erreur relative de notre calcul. Elle permet d'estimer si le calcul par décomposition en onde plane est valable ou pas selon la précision désirée.

kL	L_G	$\ \mathbf{x} - \mathbf{x}_0\ _2/L$	$\ \mathbf{y} - \mathbf{y}_0\ _2/L$	$G(\mathbf{x}, \mathbf{y})$	$G_{\sim}(\mathbf{x}, \mathbf{y})$	ε (%)
4π	2	0	0	$-0.7757 + 0.2548i$	$-0.7757 + 0.2548i$	10^{-14}
4π	5	0.7348	0	$+0.8619 + 1.4826i$	$+0.4170 + 0.8020i$	47
4π	5	0.8124	0	$+1.9460 + 0.2434i$	$+1.1706 + 0.1575i$	39
4π	5	0	0.7348	$+0.8619 + 1.4826i$	$+0.4170 + 0.8020i$	47
4π	2	0.6403	0	$-1.2605 + 0.6098i$	$-0.0623 + 0.1863i$	90
4π	5	0.6403	0	$-1.2605 + 0.6098i$	$-0.6357 + 0.2251i$	52
4π	10	0.6403	0	$-1.2605 + 0.6098i$	$-1.2714 + 0.5840i$	1
4π	15	0.6403	0	$-1.2605 + 0.6098i$	$-1.2608 + 0.6097i$	10^{-4}
4π	20	0.1732	0.7348	$+1.8888 - 1.0929i$	$+1.8839 - 1.0929i$	0.2
6π	20	0.1732	0.7348	$-1.5408 + 1.5452i$	$-1.6159 + 1.4707i$	4
8π	20	0.1732	0.7348	$+1.0875 - 1.8919i$	$+1.1657 - 0.5835i$	60
4π	50	0.1732	0.7348	$+1.8888 - 1.0929i$	$+93237 + 304181i$	10^7

TABLE 2 – Résultat de la décomposition en ondes planes

Nous pouvons commencer par remarquer que dans le cas $\mathbf{x} = \mathbf{x}_0$ et $\mathbf{y} = \mathbf{y}_0$ nous obtenons un résultat exact même pour $L_G = 2$ qui est la plus petite valeur accessible dans notre code, ce qui correspond à notre cas test développé en sous-section 2.

La variation de \mathbf{x} , \mathbf{x}_0 , \mathbf{y} et \mathbf{y}_0 aux autres paramètres fixés nous apprend que le résultat dépend modérément de la direction de \mathbf{x} (resp. \mathbf{y}) par rapport à \mathbf{x}_0 (resp. \mathbf{y}_0) mais que ce sont avant tous les normes des différences qui sont importantes. De plus k a aussi une influence et le produit $k\|\mathbf{x}_0 - \mathbf{y}_0\|_2$ joue aussi un rôle important.

En effet, lorsque l'on regarde l'influence de L_G seule, plus il est numériquement grand et plus le résultat est précis, comme nous pouvions nous y attendre, jusqu'à un certain point où l'on commence à avoir divergence à cause des fonctions de Hankel. Ainsi suivant la différence maximale autorisée entre \mathbf{x} et \mathbf{x}_0 (resp. \mathbf{y} et \mathbf{y}_0) il sera nécessaire d'avoir un L_G plus ou moins grand pour avoir une bonne précision. Nous avons noté en pratique qu'il est préférable de garder $\|\mathbf{x} - \mathbf{x}_0\|_2$ et $\|\mathbf{y} - \mathbf{y}_0\|_2$ proche de $\sim \|\mathbf{x}_0 - \mathbf{y}_0\|_2$ pour ne pas se heurter au problème de divergence et avoir une bonne précision. On veillera aussi à ce que $k\|\mathbf{x}_0 - \mathbf{y}_0\|_2$ soit suffisamment faible pour pouvoir utiliser une valeur de L_G optimale faible. Plus précisément, pour savoir quel sera le bon L_G à choisir on se reportera à une étude similaire à celle donnant la figure Fig. 5.

Question 6

1. Partitionnement

Nous avons réalisé le partitionnement (c.f. Fig. 4), correspondant à un niveau de ce qu'aurait été l'octree dans un algorithme multi-niveau dans un fonction nous renvoyant une structure nommée **partition**. Les attributs essentiels de cette structure Matlab sont trois tableaux :

- du numéro des noeuds dans chaque boîte.
- du nombre de noeuds dans chaque boîte.
- des coordonnées du centre de chaque boîte.

Même si l'on ne prend pas en compte cette étape dans le temps de calcul du produit matrice vecteur il est bon d'essayer de ne pas la rendre trop longue. Pour ce faire nous n'avons réalisé pour la création des boîtes de la partition et l'extraction des noeuds qui y appartiennent, seulement des boucles sur, au maximum, les boîtes et jamais sur les noeuds qui sont bien plus nombreux. De plus pour ne pas surcharger la mémoire et comme beaucoup des tableaux de **partition** sont creux nous avons utilisé une définition en tant que *sparse* de ces matrices/tableaux.

2. Algorithme FMM

Après avoir réalisé le partitionnement nous nous sommes attaqués à l'écriture totale du code de résolution FMM à un niveau en réutilisant toutes les fonctions déjà écrites. Nous pouvons résumer ici la structure de l'algorithme final de la sorte :

-
- 1: Initialisation des données du problèmes
 - 2: Maillage du domaine
 - 3: Initialisation des points de quadrature
 - 4: Création des partitions
 - 5: Calcul du produit pour les noeuds non voisins
 - 6: Calcul des contributions des voisins
-

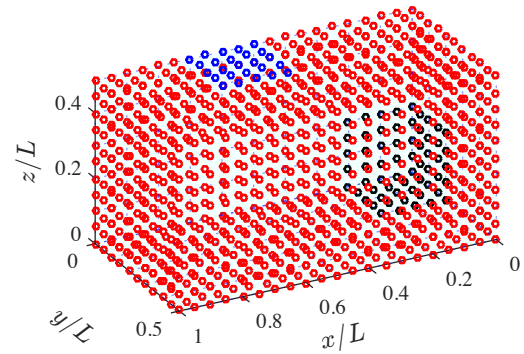


FIGURE 4 – Représentation de deux paquets deux points appartenant à deux boîtes (i.e. partitions) cubiques de taille d différentes en sortie de notre algorithme de partitionnement (représentés en bleu et en noir). Celle en bleu contient moins de points car elle ne contient que des éléments du haut de la boîte alors que celui en noir regroupe des points sur trois faces. $f = 2c/L$, $n_\lambda = 10$, $d = 0.3\lambda$.

3. Résultats

Nous avons regardé l'erreur en norme $\|\cdot\|_2$ et en norme $\|\cdot\|_\infty$, entre le résultat de l'algorithme FMM et le résultat par le produit matrice vecteur classique en fonction de L_G . Nous notons plus précisément aussi \mathbb{G}_\simeq la matrice associée comme en Eq. (2) à la fonction de Green précédemment définie G_\simeq ainsi que :

$$\eta_2 = \frac{\|(\mathbb{G} - \mathbb{G}_\simeq)\boldsymbol{\rho}\|_2}{\|\mathbb{G}\boldsymbol{\rho}\|_2} \quad \text{et} \quad \eta_\infty = \frac{\|(\mathbb{G} - \mathbb{G}_\simeq)\boldsymbol{\rho}\|_\infty}{\|\mathbb{G}\boldsymbol{\rho}\|_\infty} \quad (20)$$

La figure Fig. 5 montre, pour $\boldsymbol{\rho} = \mathbf{1}$ (vecteur ayant toutes ces composantes à 1), l'évolution de ces coefficients avec L_G .

Nous remarquons qu'il y a un point de minimum. Avec la formule du cours nous avons une estimation de la valeur de L_G à choisir pour se placer à ce minimum :

$$L_G = \sqrt{3}kd + 7.5 \log(\sqrt{3}kd + \pi) \quad (21)$$

Nous trouvons qu'alors $L_G = 17$ au minimum avec cette formule. Sur notre graphique nous remarquons un minimum en $L_G = 20$ ce qui est convenablement proche. Avec des erreurs relatives qui sont alors faibles.

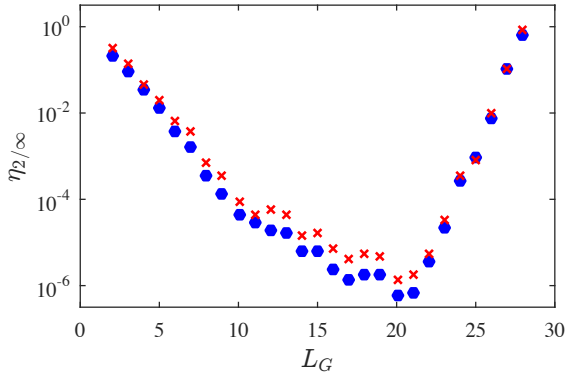


FIGURE 5 – Évolution des écarts relatifs η_2 (points bleus) et η_∞ (croix rouges) en fonction de L_G , représentant le nombre de points de quadrature, en échelle logarithmique. $f = 4c/L$, $n_\lambda = 10$ et $d = 0.3\lambda$ ce qui donne $N = 4002$ et un nombre de 162 partitions

Question 7

Nous montrons en Fig. 6 l'évolution du temps de calcul τ_{FMM} par la méthode FMM (correspondant au temps des étapes 5 et 6 seulement du pseudo code présenté en question précédente) et τ_{class} par la méthode classique du produit matrice vecteur en fonction de N . Pour augmenter le nombre de points nous fixons $n_\lambda = 10$ et nous faisons varier la fréquence entre $0.2c/L$ et $5c/L$. Nous fixons $d = 0.5\lambda$ à chaque itération pour cette figure et $L = 10$ afin d'avoir une précision correcte (nous avons noté $\eta_{2/\infty} < 10^{-4}$ pour l'ensemble des points calculés) sans pour autant alourdir le calcul qu'elle nécessite.

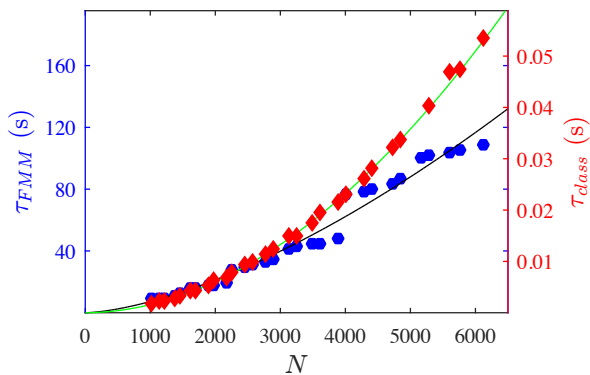


FIGURE 6 – Évolution du temps de calcul du produit matrice vecteur par la méthode classique τ_{class} (rouge) et par la méthode FMM τ_{FMM} (bleu) avec N . Les courbes vertes et noires correspondent aux modélisations en loi de puissance réalisés avec Matlab.

Nous remarquons que, même si cela ne paraît pas évident à cause des échelles différentes mises en jeu sur la figure, la courbe de τ_{FMM} croît moins vite que celle de τ_{class} . Afin de vérifier cette tendance sont, représentés en en jaune et vert les courbes de meilleures interpolations

en puissance ayant les équations suivantes : $\tau_{FMM} \simeq 1.63 \times 10^{-4} \times N^{1.55}$ (s) et $\tau_{class} \simeq 1.97 \times 10^{-9} N^{1.95}$ (s). Même en utilisant l'option *-singleCompThread* de Matlab la complexité du produit classique est légèrement en dessous de la complexité théorique. Ceci peut s'expliquer par le fait qu'il nous aurait fallu peut être plus de point à N plus grand pour ne prendre en compte que le comportement asymptotique, mais aussi par le fait que Matlab donne parfois des résultats dans le calcul de temps écoulé qui fluctuent légèrement. Malgré cela nous ne sommes pas loin de la complexité théorique et ceci nous permet de voir que notre méthode FMM se rapproche aussi de sa complexité théorique en $O(N^{3/2})$.

Nous observons une courbe qui évolue par *paliers*. Sachant que sur chaque *palier* le nombre de partition est constant nous pouvons en conclure qu'en augmentant la fréquence, nous rajoutons par étapes des nouvelles partitions du maillage et ainsi nous obtenons une augmentation par sauts du temps (ce qui est en réalité attendu puisque le code effectue des boucles de taille du nombre de partitions dans son fonctionnement).

Remarque :

Nous avons aussi pu remarquer lors d'une seconde étude similaire mais avec $L_G = 15$ (donnant une meilleure précision du résultat) il nous faut environ $N \sim 9000$ pour atteindre les 5 minutes d'exécution du code et $N \sim 3000$ pour atteindre une minute. L'évolution en *paliers* demande de bien maîtriser la création des partitions pour optimiser le temps dès que l'on augmente le nombre de points. Finalement, dans ce cas, en ayant réalisé les calculs jusqu'à $N = 9002$ points avec $L_G = 15$ nous avons observé une loi de puissance en $O(N^{1.7})$. Ceci est moins bon que précédemment même si, tout de même mieux qu'un comportement en $O(N^2)$.

Question 8

Nous pouvons remarquer que malgré une complexité plus avantageuse et nos efforts pour le rendre le plus rapide possible ce nouvel algorithme FMM met plus de temps à s'exécuter que le produit réalisé classiquement pour le nombre de points (qui reste relativement faible) que nous avons pu tester. En effet nous avons en Fig. 6, pour $N = 6012$, un temps $\tau_{FMM} = 108$ s et $\tau_{class} = 0.05$ s. Nous pouvons dire, en comparant les deux courbes de la question précédente et celle de la question 2 que, si l'on prend en compte le temps d'assemblage de la matrice dans la méthode classique, il faudrait atteindre $N \sim 10^8$ pour que l'utilisation de la FMM mono-niveau soit utile. Or cela implique des temps d'exécution inimaginables de $\sim 10^8$ s. Il serait alors nécessaire de réussir à optimiser encore le temps d'exécution global du code FMM, de passer par un algorithme multi-niveaux, d'utiliser une machine plus puissante, de changer de langage de programmation pour un langage compilé, ou de paralléliser le calcul.